

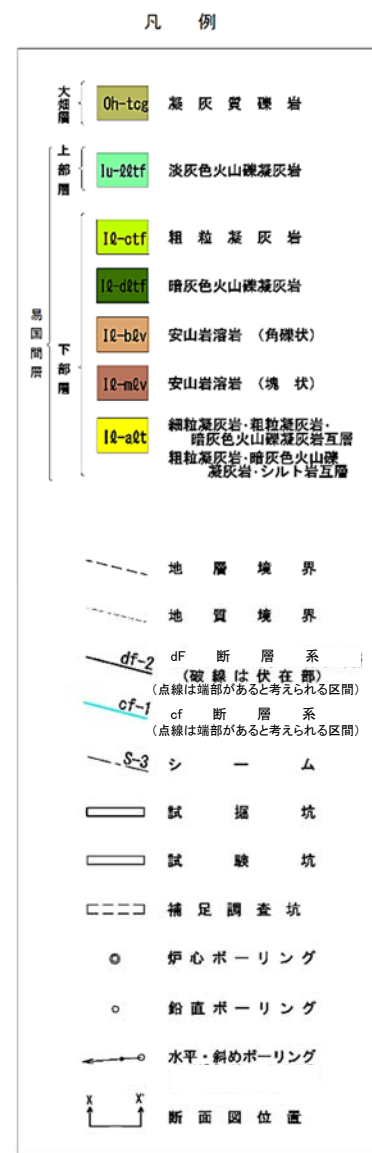
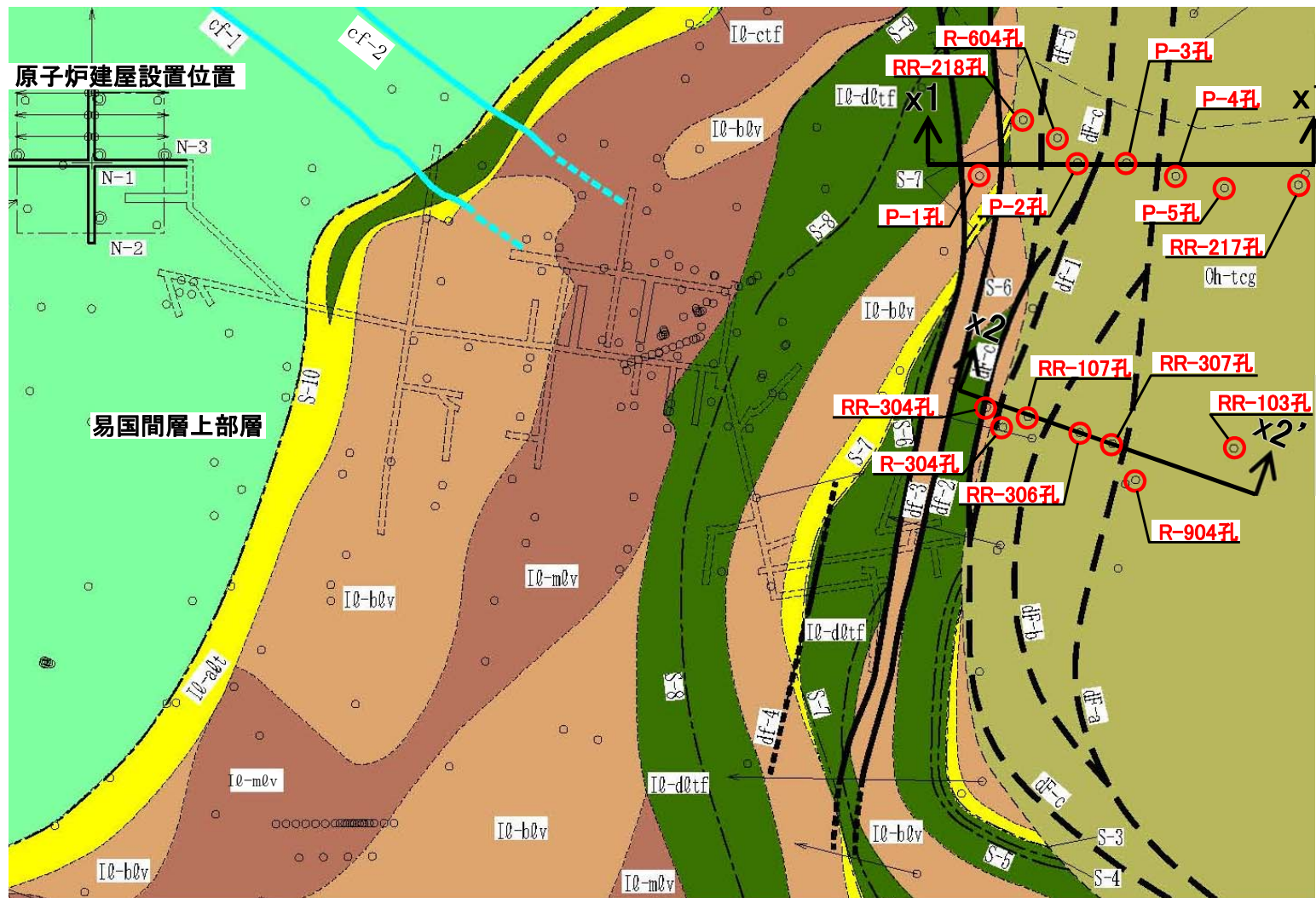
dF断層系の活動性評価

[本編資料2.2.2章に関する基礎データ]

- dF断層系と大畑層基底面との関係
- dF-a断層延長部の大畑層中の破砕部の有無



dF断層系と大畑層との関係(敷地北側の断面上のボーリング)



ボーリング位置図(T.P.-14m水平断面図)

敷地北側の2つの断面(x1-x1', x2-x2')上のボーリングにおいて、dF断層系を不整合に覆う大畑層の基底面付近を調査した。



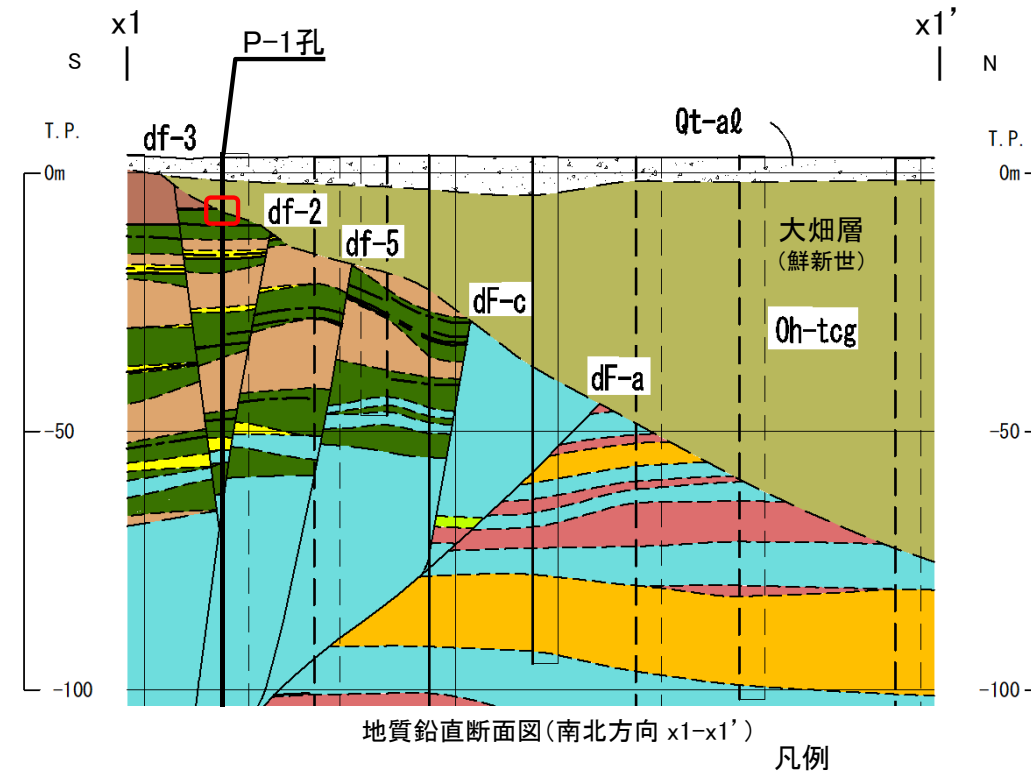
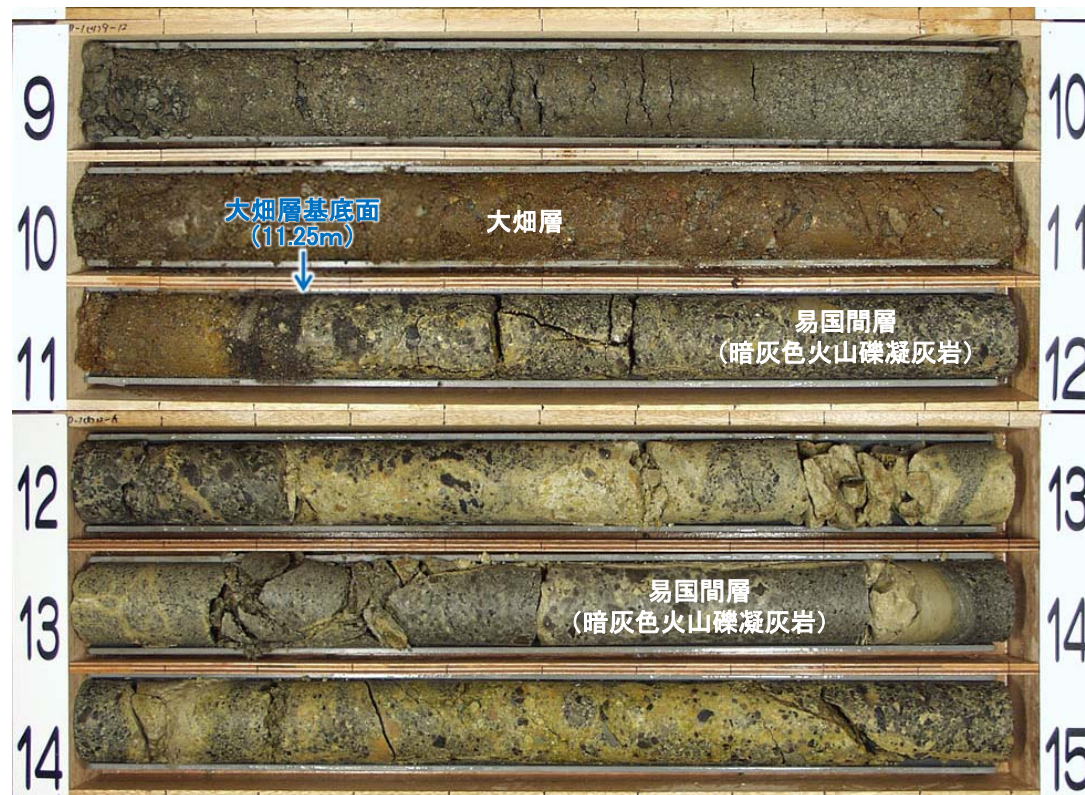
3.6 dF断層系の活動性評価(3/19)

コメントNo.S2-132



dF断層系と大畑層基底面との関係(x1-x1'断面)(1/8):P-1孔

P-1孔(9m~15m区間)



□ コア写真区間

注) 凡例はP.3-27参照。

- x1-x1'断面上のP-1孔では、深度11.25mに大畑層の基底面が認められる。
- 大畑層は下位の易国間層を不整合に覆って分布する。
- x1-x1'断面上のボーリング結果から、大畑層の基底面に断層を示唆する南側落下の形状は認められない。

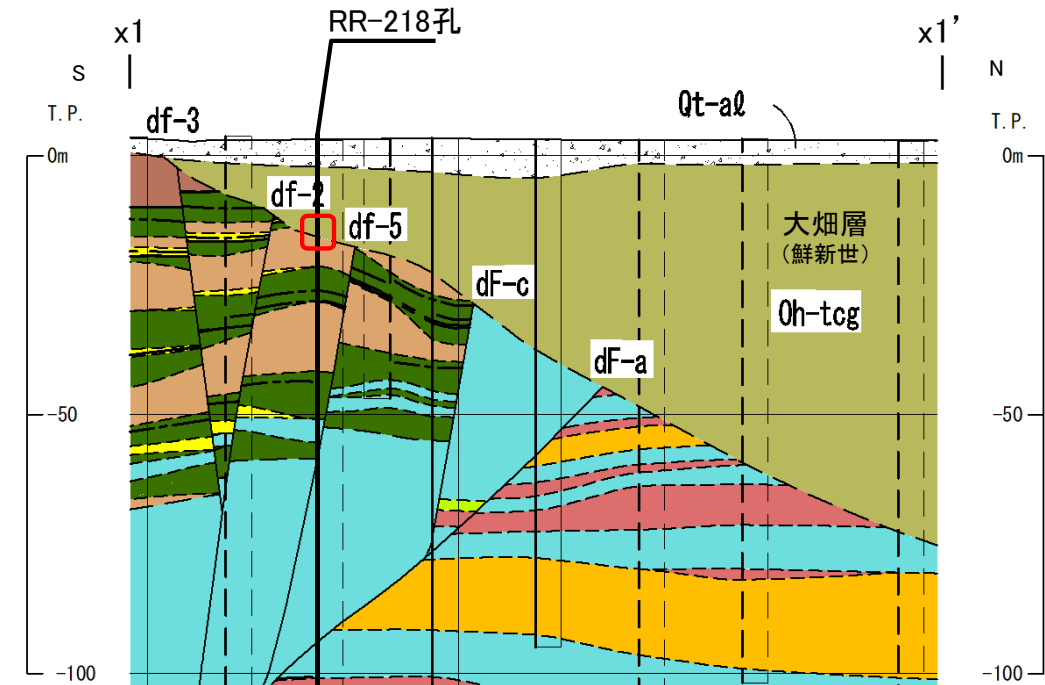
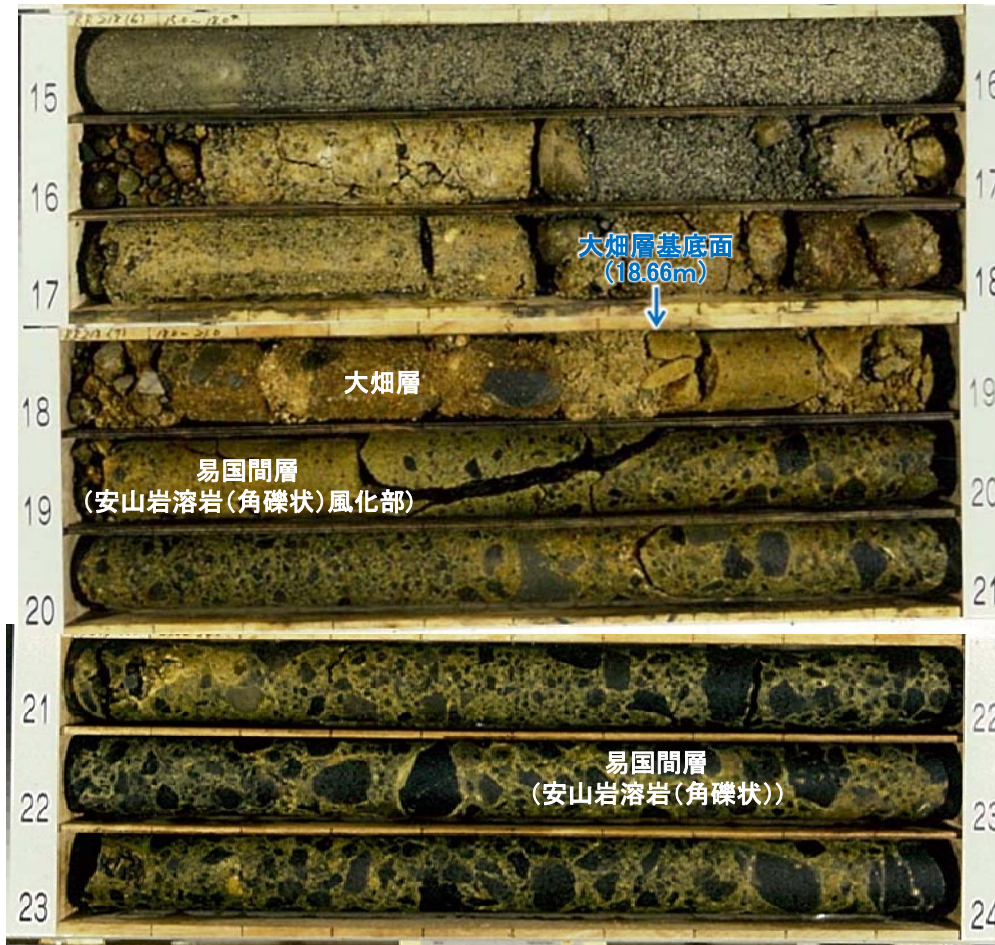
3.6 dF断層系の活動性評価(4/19)

コメントNo.S2-132



dF断層系と大畑層基底面との関係(x1-x1'断面)(2/8):RR-218孔

RR-218孔(15m~24m区間)



地質鉛直断面図(南北方向 x1-x1')

凡例

コア写真区間

注) 凡例はP.3-27参照。

- x1-x1'断面上のRR-218孔では、深度18.66mに大畑層の基底面が認められる。
- 大畑層は下位の易国間層を不整合に覆って分布する。
- x1-x1'断面上のボーリング結果から、大畑層の基底面に断層を示唆する南側落下の形状は認められない。

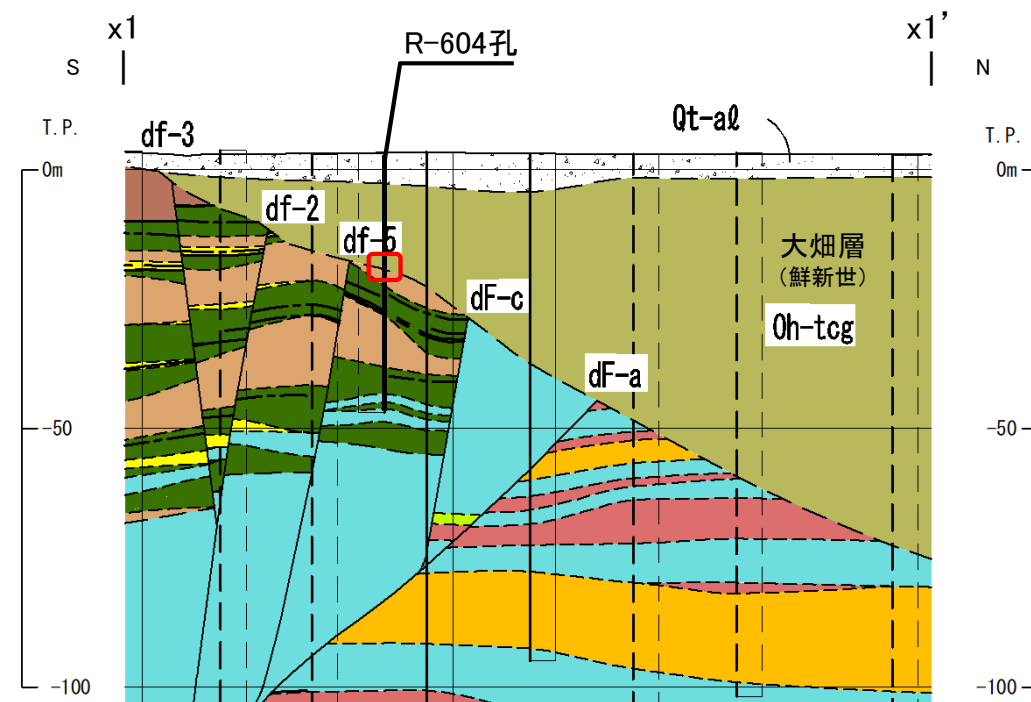
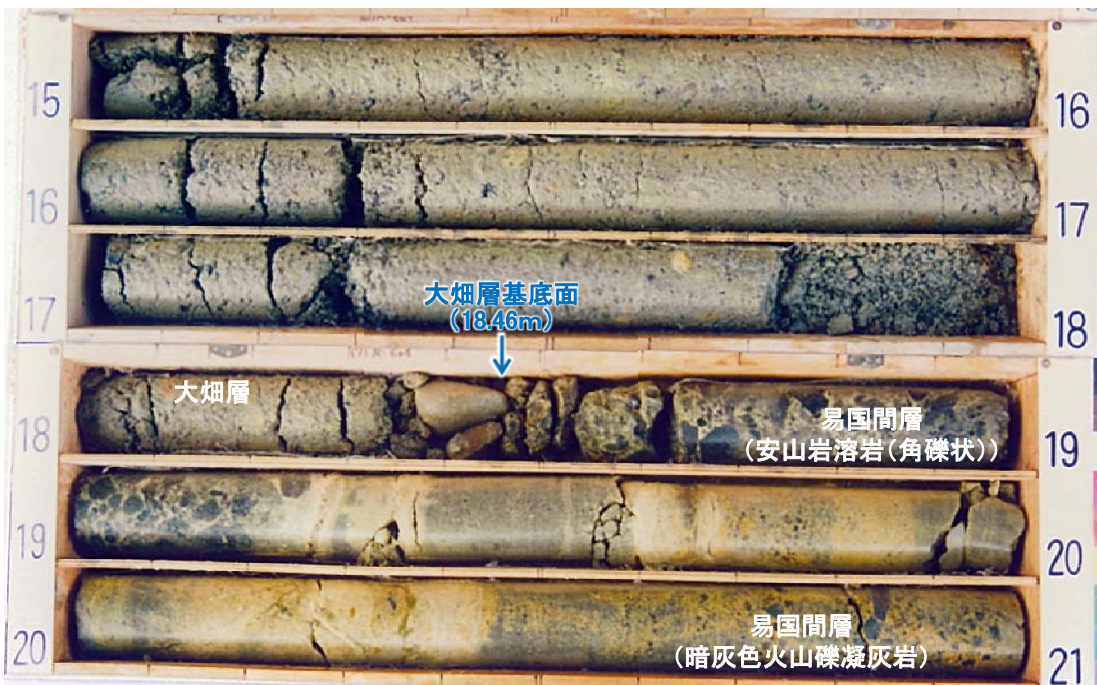
3.6 dF断層系の活動性評価(5/19)

コメントNo.S2-132



dF断層系と大畑層基底面との関係(x1-x1'断面)(3/8):R-604孔

R-604孔(15m~21m区間)



地質鉛直断面図(南北方向 x1-x1')

凡例

コア写真区間

注) 凡例はP.3-27参照。

- x1-x1'断面上のR-604孔では、深度18.46mに大畑層の基底面が認められる。
- 大畑層は下位の易国間層を不整合に覆って分布する。
- x1-x1'断面上のボーリング結果から、大畑層の基底面に断層を示唆する南側落下の形状は認められない。

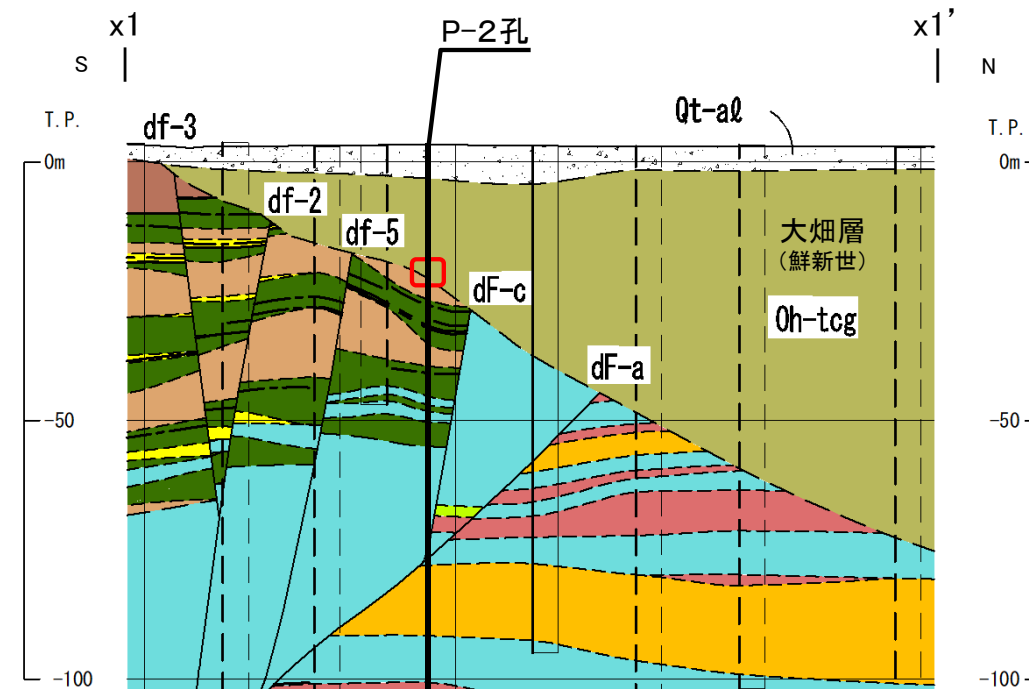
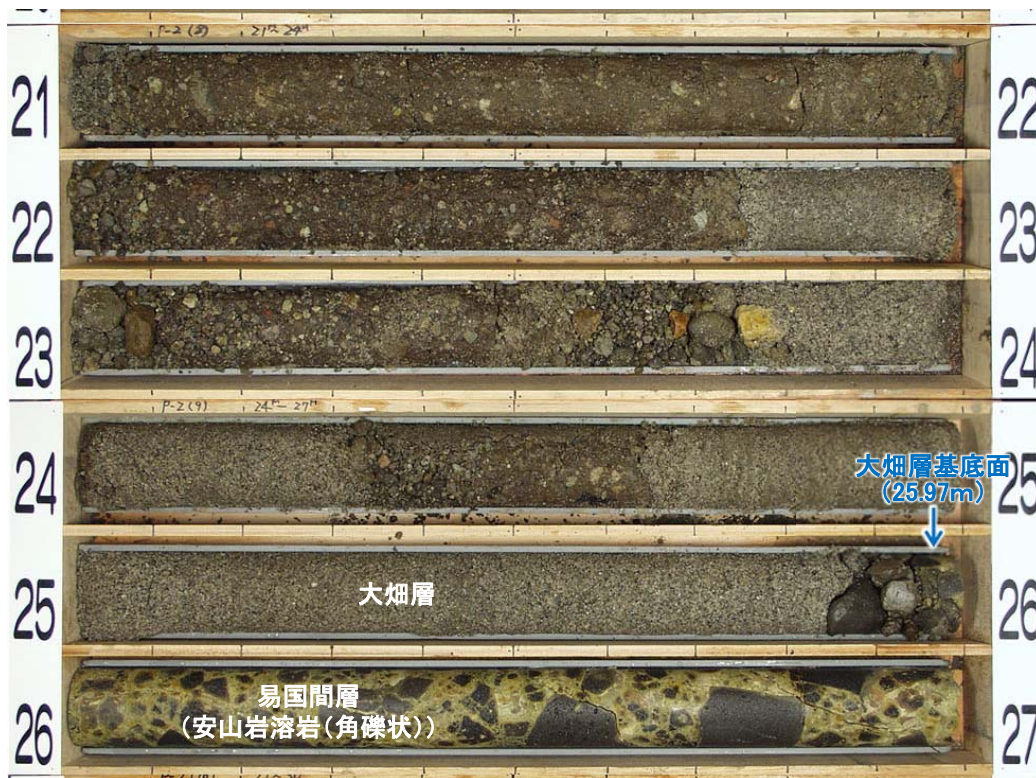
3.6 dF断層系の活動性評価(6/19)

コメントNo.S2-132



dF断層系と大畑層基底面との関係(x1-x1'断面)(4/8):P-2孔

P-2孔(21m~27m区間)



地質鉛直断面図(南北方向 x1-x1')

凡例

コア写真区間

注) 凡例はP.3-27参照。

- x1-x1'断面上のP-2孔では、深度25.97mに大畑層の基底面が認められる。
- 大畑層は下位の易国間層を不整合に覆って分布する。
- x1-x1'断面上のボーリング結果から、大畑層の基底面に断層を示唆する南側落下の形状は認められない。

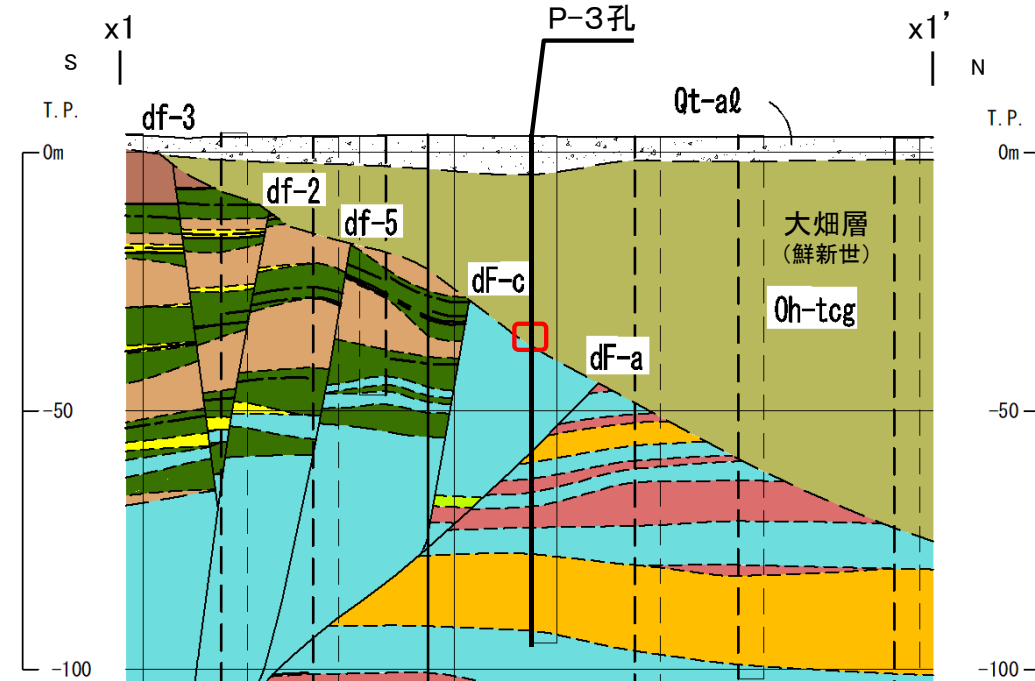
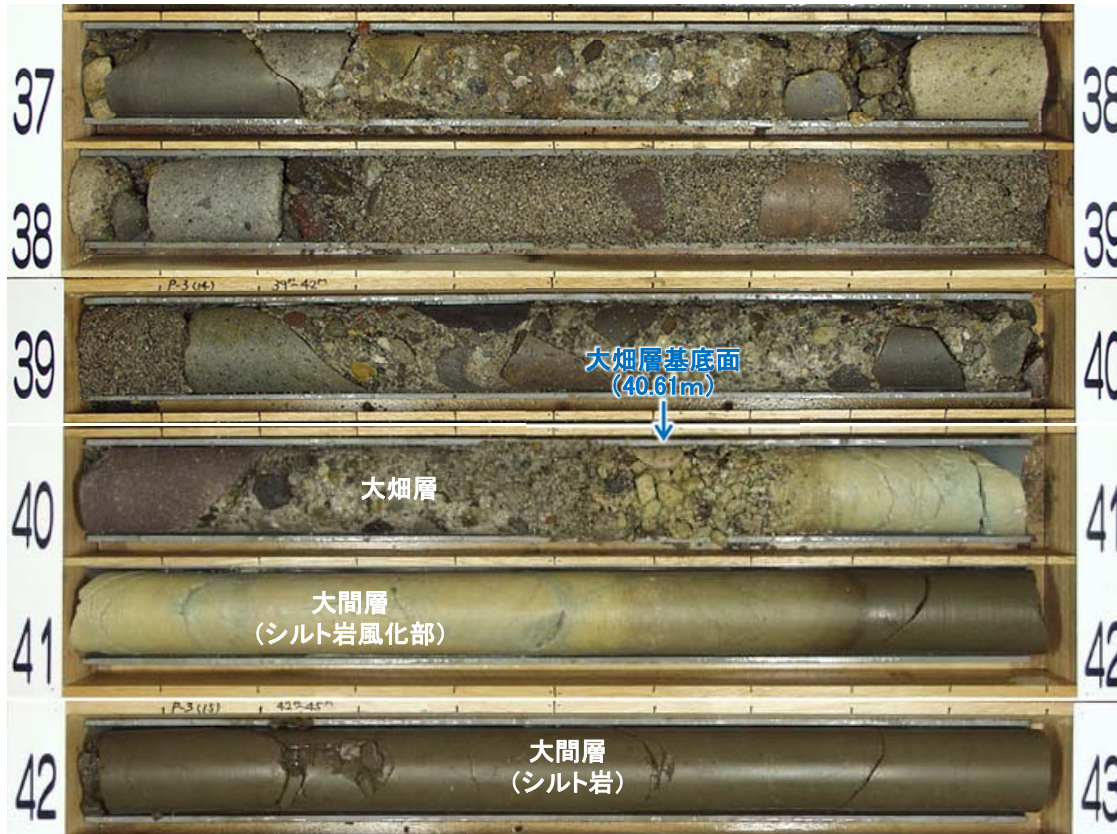
3.6 dF断層系の活動性評価(7/19)

コメントNo.S2-132



dF断層系と大畑層基底面との関係(x1-x1'断面)(5/8):P-3孔

P-3孔(37m~43m区間)



地質鉛直断面図(南北方向 x1-x1')

凡例

コア写真区間

注) 凡例はP.3-27参照。

- x1-x1'断面上のP-3孔では、深度40.61mに大畑層の基底面が認められる。
- 大畑層は下位の大間層を不整合に覆って分布する。
- x1-x1'断面上のボーリング結果から、大畑層の基底面に断層を示唆する南側落下の形状は認められない。

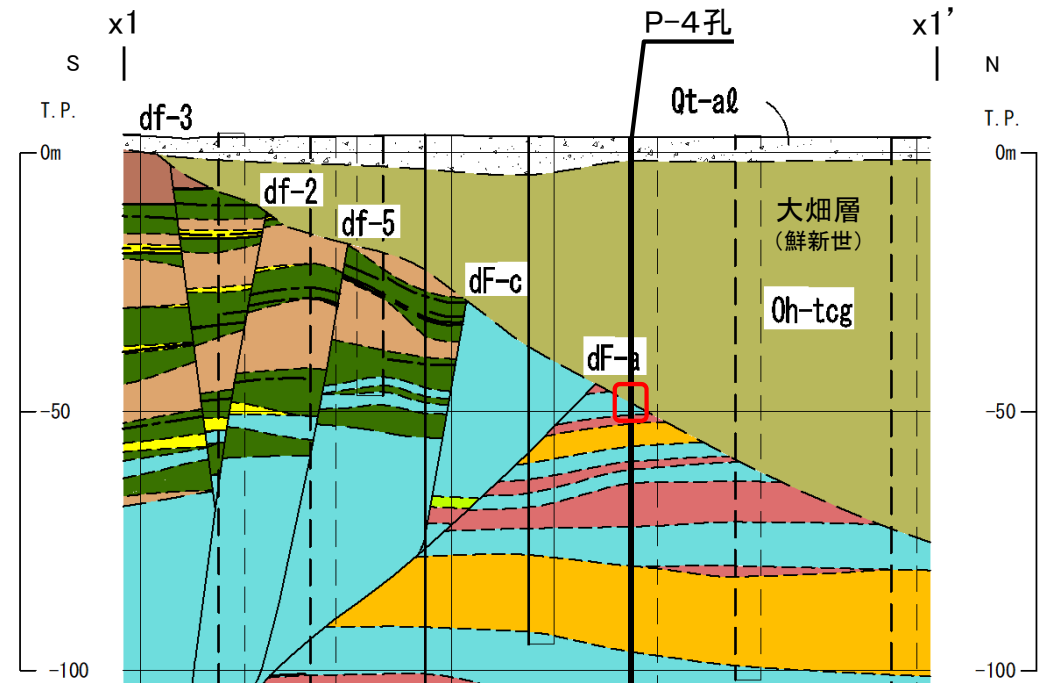
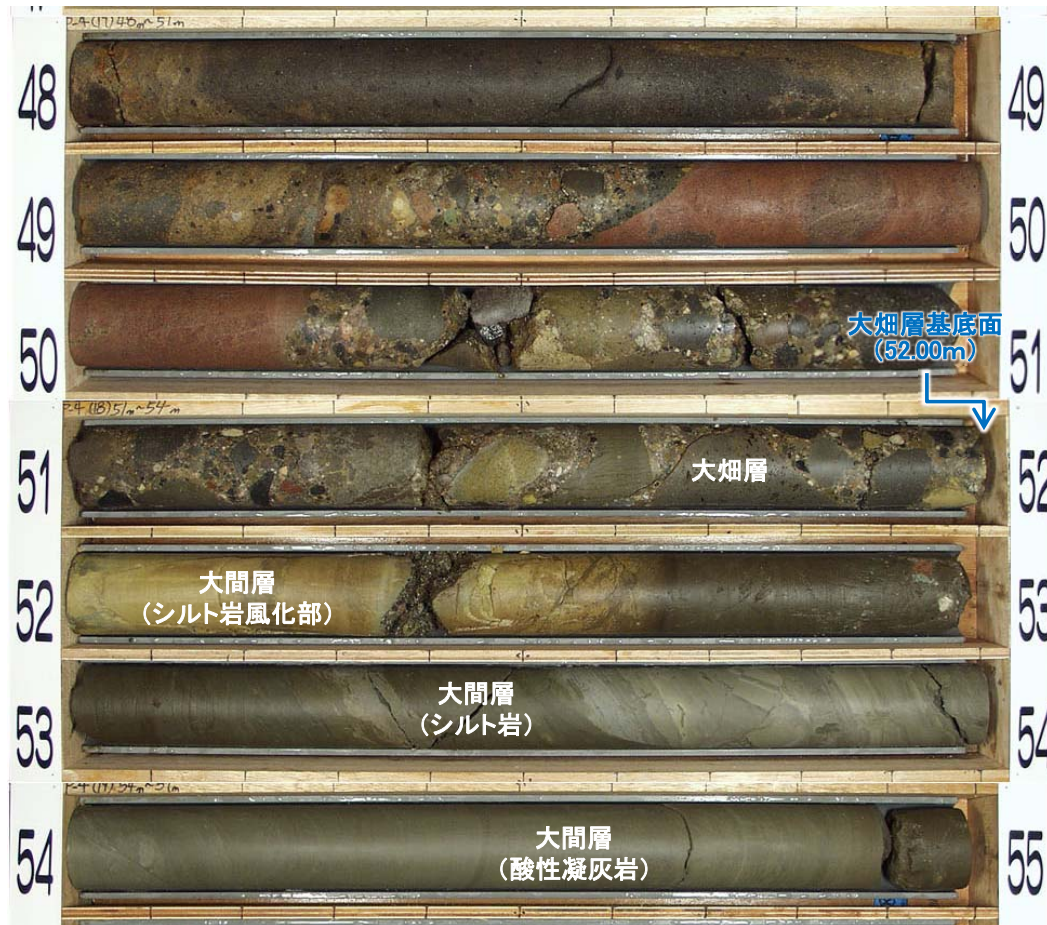
3.6 dF断層系の活動性評価(8/19)

コメントNo.S2-132



dF断層系と大畑層基底面との関係(x1-x1'断面)(6/8):P-4孔

P-4孔(48m~55m区間)



地質鉛直断面図(南北方向 x1-x1')

凡例

コア写真区間

注) 凡例はP.3-27参照。

- x1-x1'断面上のP-4孔では、深度52.00mに大畑層の基底面が認められる。
- 大畑層は下位の大間層を不整合に覆って分布する。
- x1-x1'断面上のボーリング結果から、大畑層の基底面に断層を示唆する南側落下の形状は認められない。

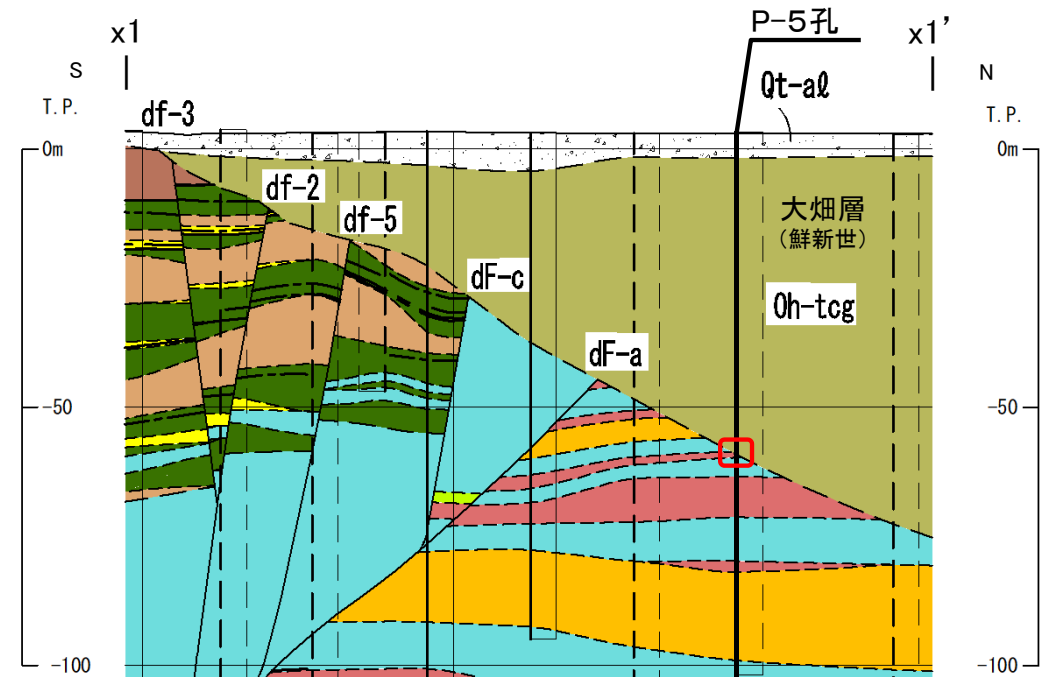
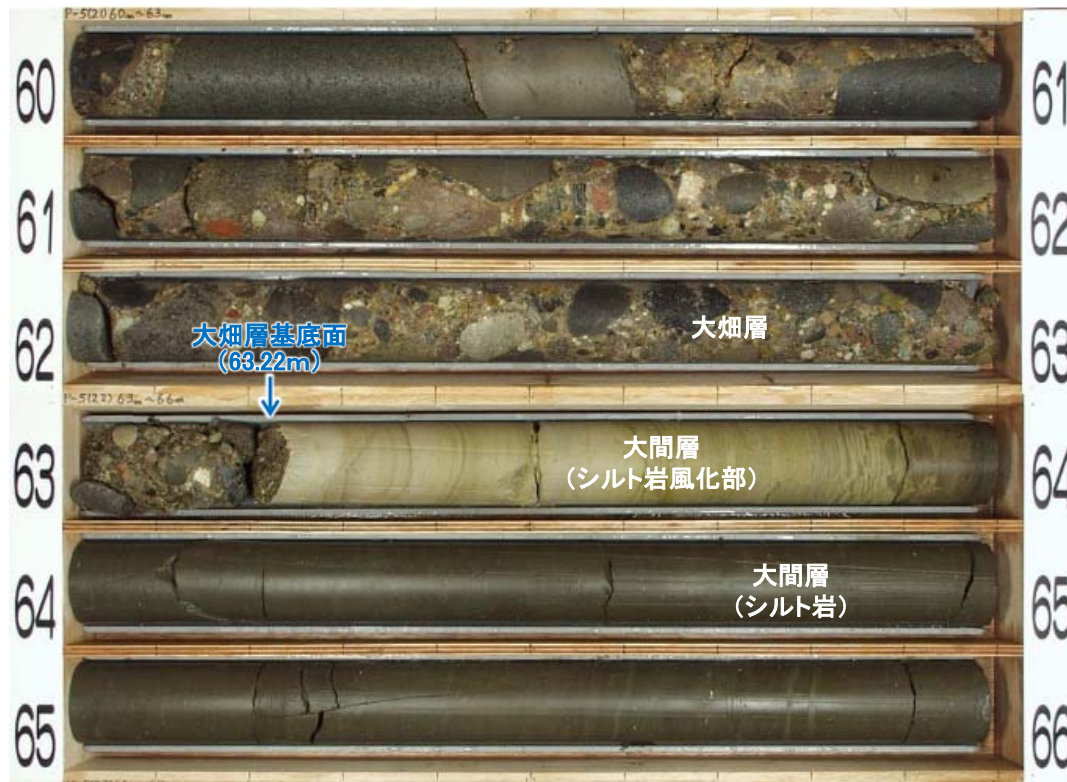
3.6 dF断層系の活動性評価(9/19)

コメントNo.S2-132



dF断層系と大畑層基底面との関係(x1-x1'断面)(7/8):P-5孔

P-5孔(60m~66m区間)



地質鉛直断面図(南北方向 x1-x1')

凡例

コア写真区間

注) 凡例はP.3-27参照。

- x1-x1'断面上のP-5孔では、深度63.22mに大畑層の基底面が認められる。
- 大畑層は下位の大間層を不整合に覆って分布する。
- x1-x1'断面上のボーリング結果から、大畑層の基底面に断層を示唆する南側落下の形状は認められない。

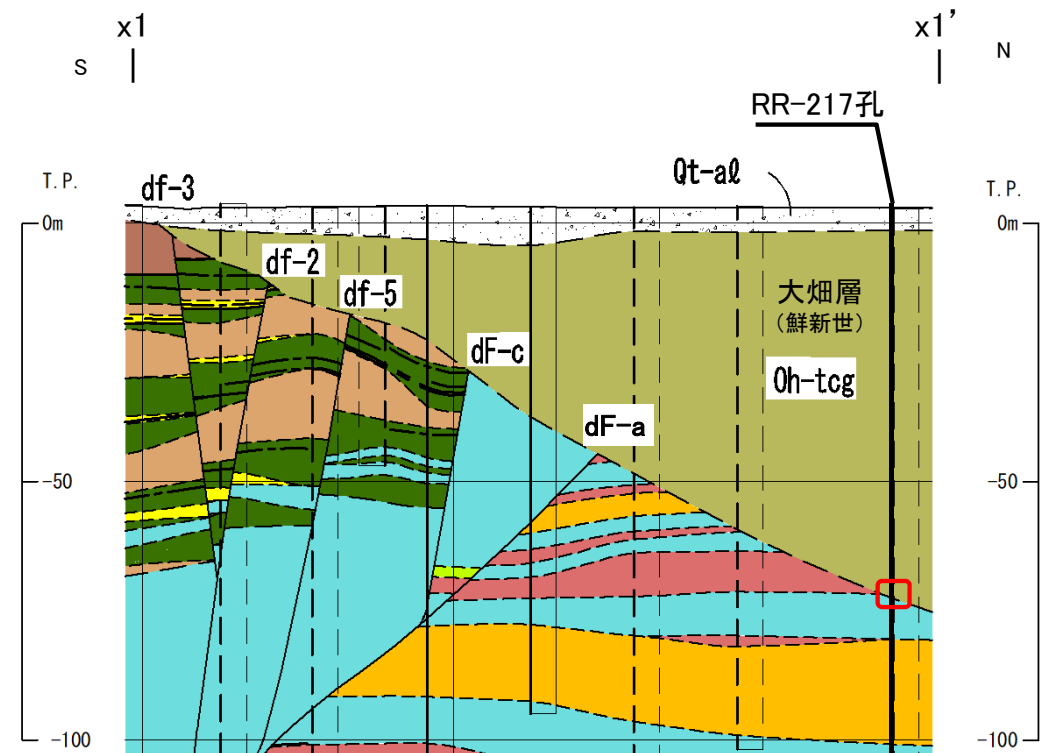
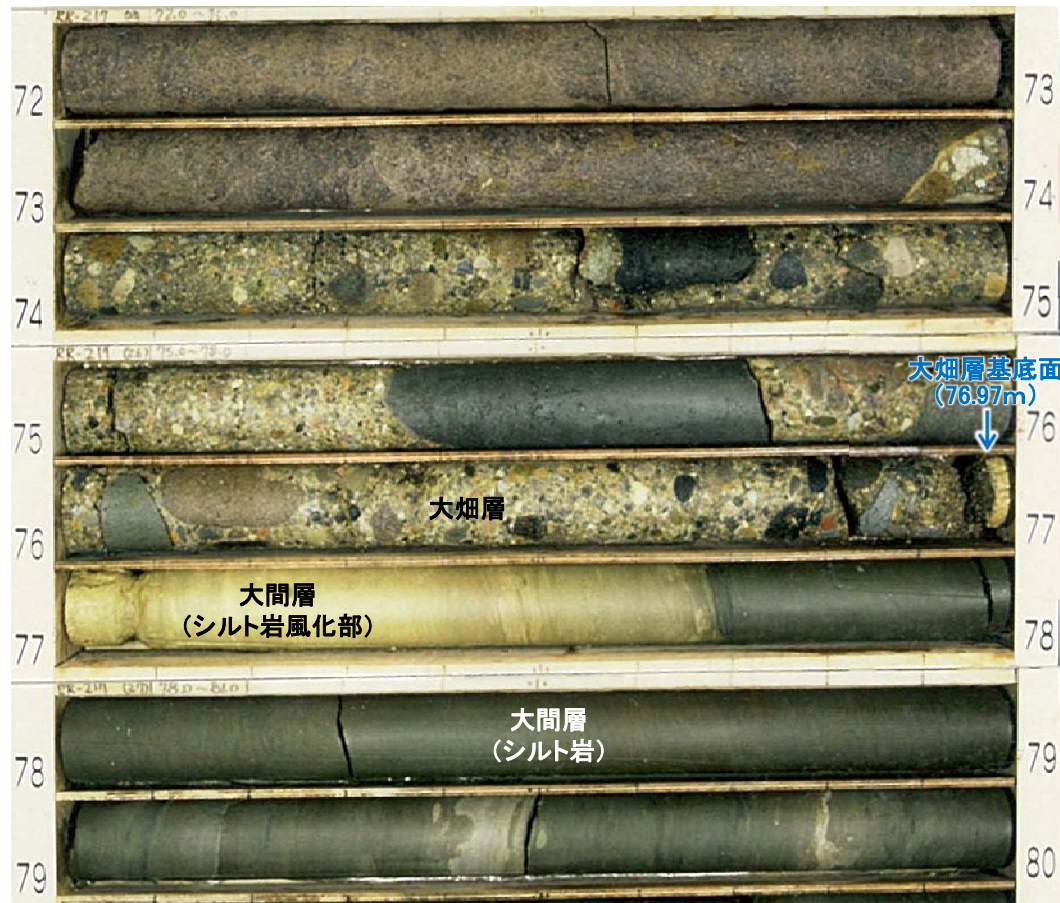
3.6 dF断層系の活動性評価(10/19)

コメントNo.S2-132



dF断層系と大畑層基底面との関係(x1-x1'断面)(8/8):RR-217孔

RR-217孔(72m~80m区間)



地質鉛直断面図(南北方向 x1-x1')

凡例

コア写真区間

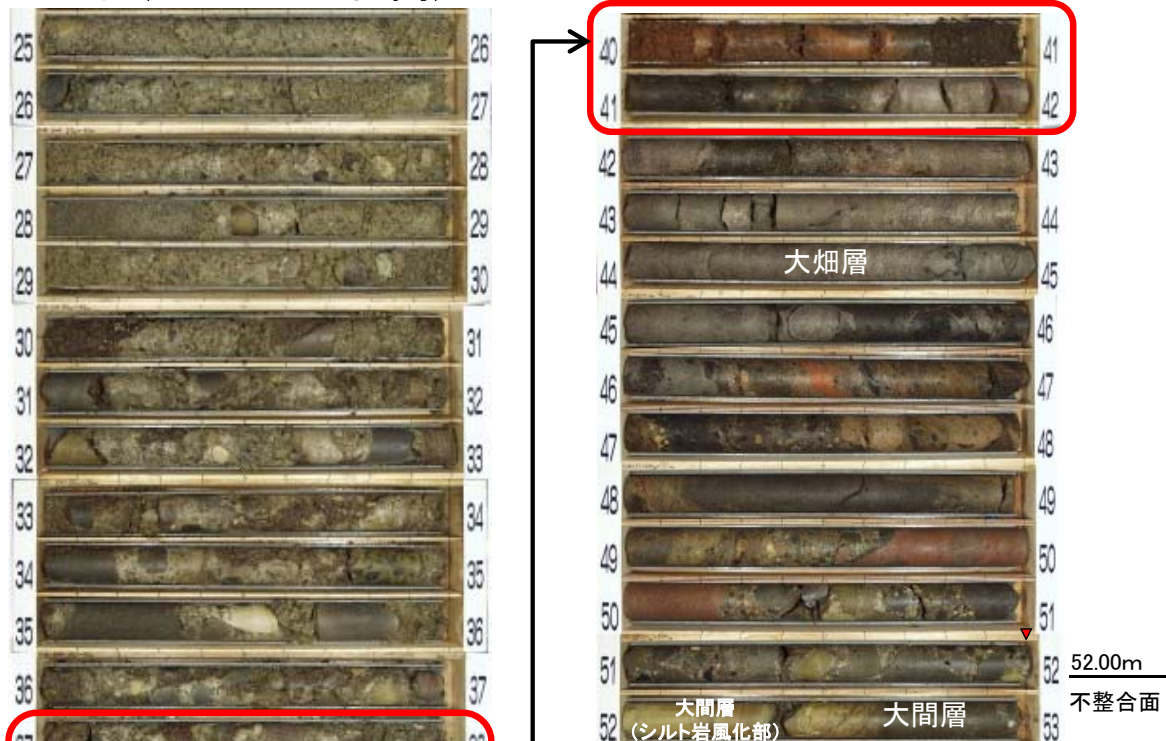
注) 凡例はP.3-27参照。

- x1-x1'断面上のRR-217孔では、深度76.97mに大畑層の基底面が認められる。
- 大畑層は下位の大間層を不整合に覆って分布する。
- x1-x1'断面上のボーリング結果から、大畑層の基底面に断層を示唆する南側落下の形状は認められない。



dF-a断層と大畑層との関係(x1-x1'断面):P-4孔

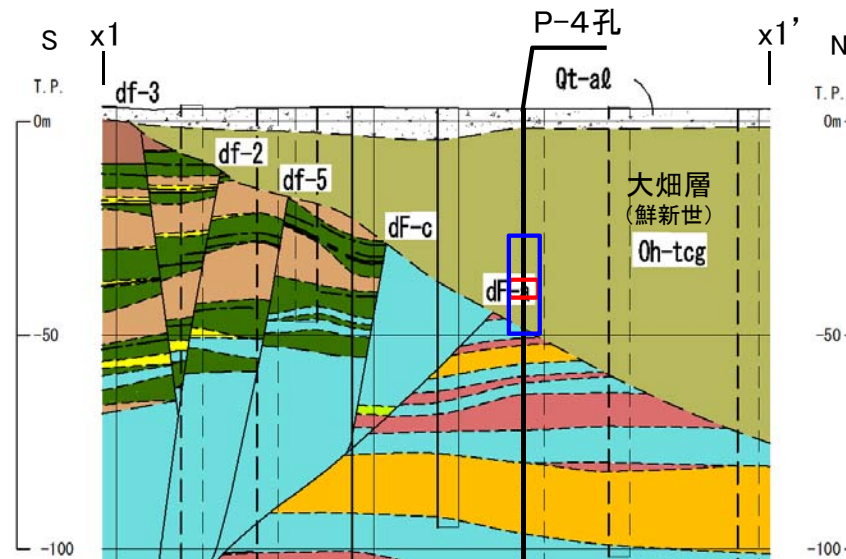
P-4孔(25m~53m区間)



dF-a断層想定延長部
(拡大コア写真範囲)



dF-a断層想定延長部の拡大コア写真



地質鉛直断面図(南北方向 x1-x1') 注) 凡例はP.3-27参照。

凡例

- コア写真区間
- dF-a断層想定延長部

- P-4孔ではdF-a断層の延長上の大畑層の凝灰質礫岩中には、破碎部や礫の一定方向の配列等の断層を示唆する性状は認められない。
- dF-a断層を挟んだ両側で大畑層の基底面に断層を示唆する南側落下の形状が認められないこと(P.3-51, 3-52参照), 上記のとおり大畑層内に断層を示唆する性状が認められないことから, dF-a断層は後期更新世以降の活動はないと判断される。

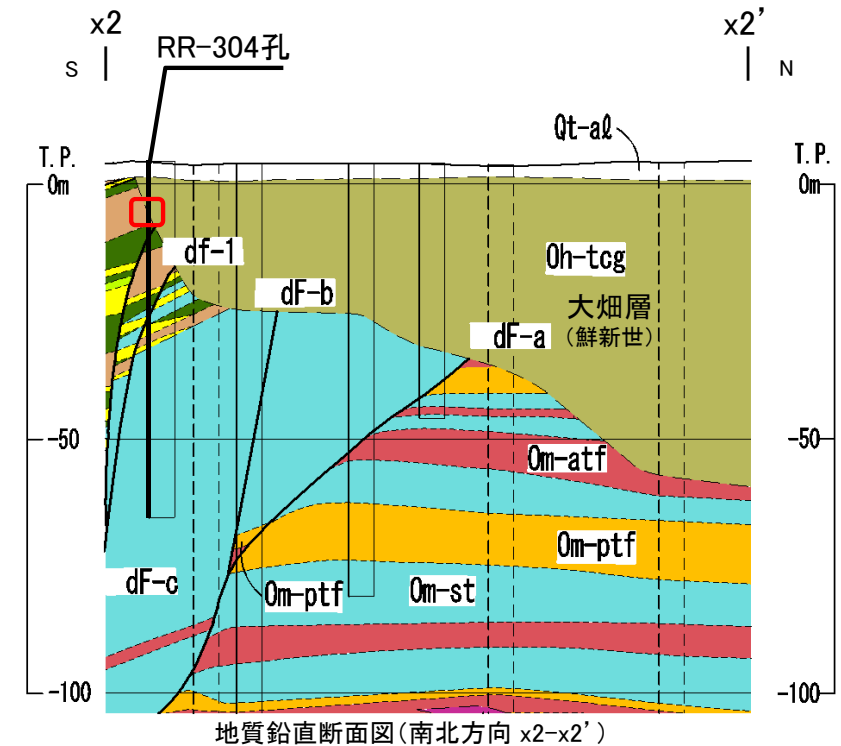
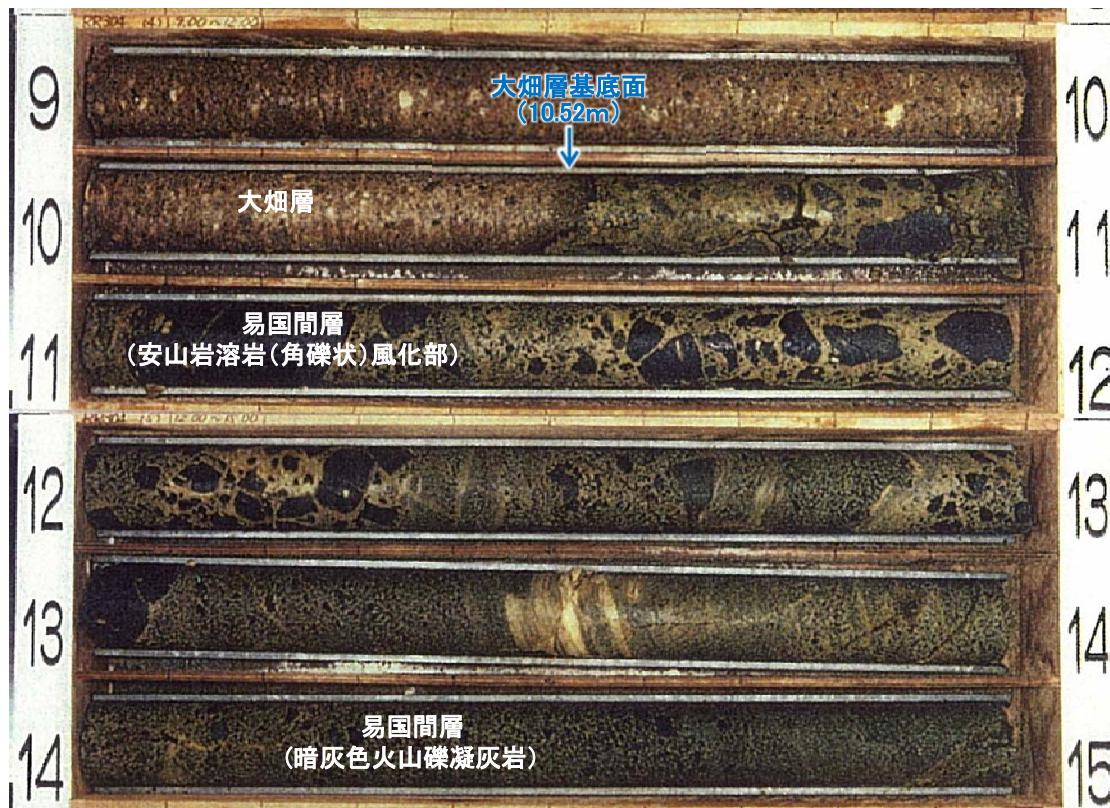
3.6 dF断層系の活動性評価(12/19)

コメントNo.S2-132



dF断層系と大畑層基底面との関係(x2-x2' 断面)(1/7):RR-304孔

RR-304孔(9m~15m区間)



地質鉛直断面図(南北方向 x2-x2')

凡例

コア写真区間

注) 凡例はP.3-27参照。

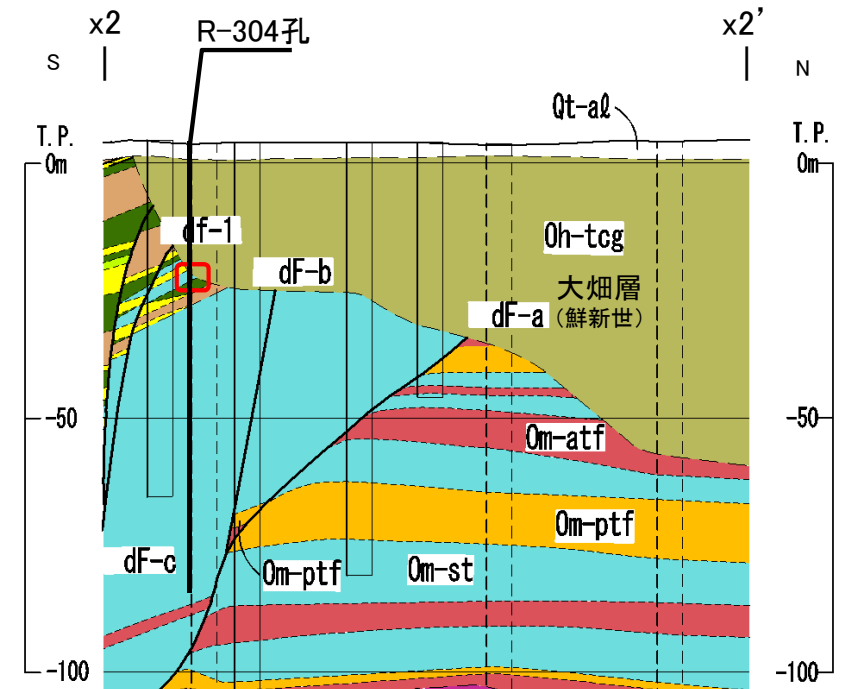
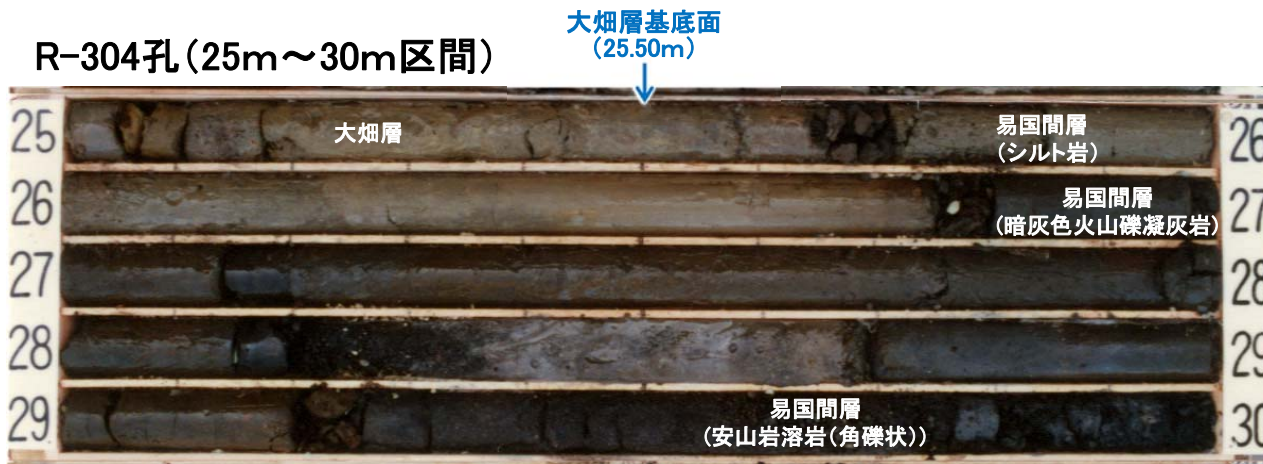
- x2-x2' 断面上のRR-304孔では、深度10.52mに大畑層の基底面が認められる。
- 大畑層は下位の易国間層を不整合に覆って分布する。
- x2-x2' 断面上のボーリング結果から、大畑層の基底面に断層を示唆する南側落下の形状は認められない。

3.6 dF断層系の活動性評価(13/19)

コメントNo.S2-132



dF断層系と大畑層基底面との関係(x2-x2' 断面)(2/7):R-304孔



凡例

コア写真区間

注) 凡例はP.3-27参照。

- x2-x2' 断面上のR-304孔では、深度25.50mに大畑層の基底面が認められる。
- 大畑層は下位の易国間層を不整合に覆って分布する。
- x2-x2' 断面上のボーリング結果から、大畑層の基底面に断層を示唆する南側落下の形状は認められない。

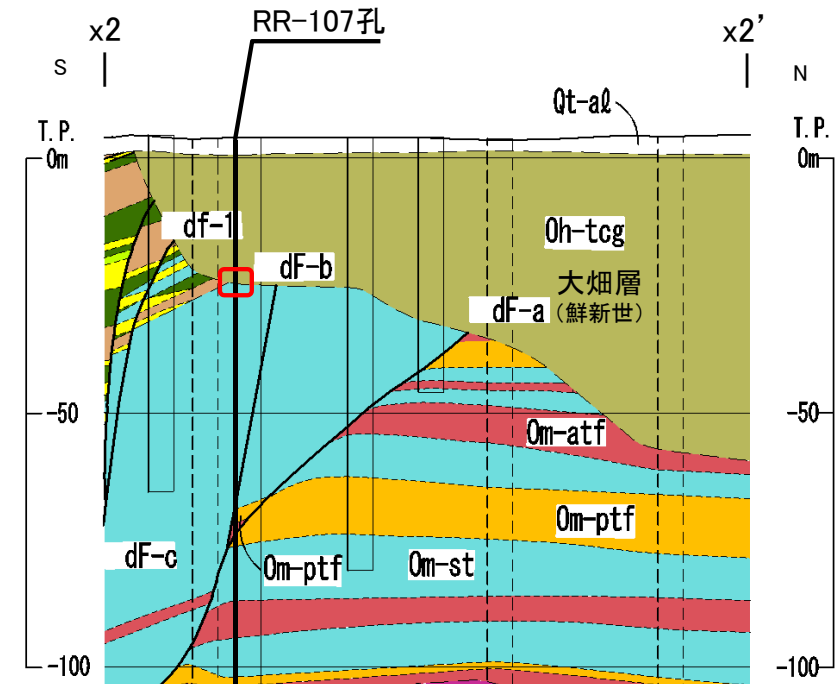
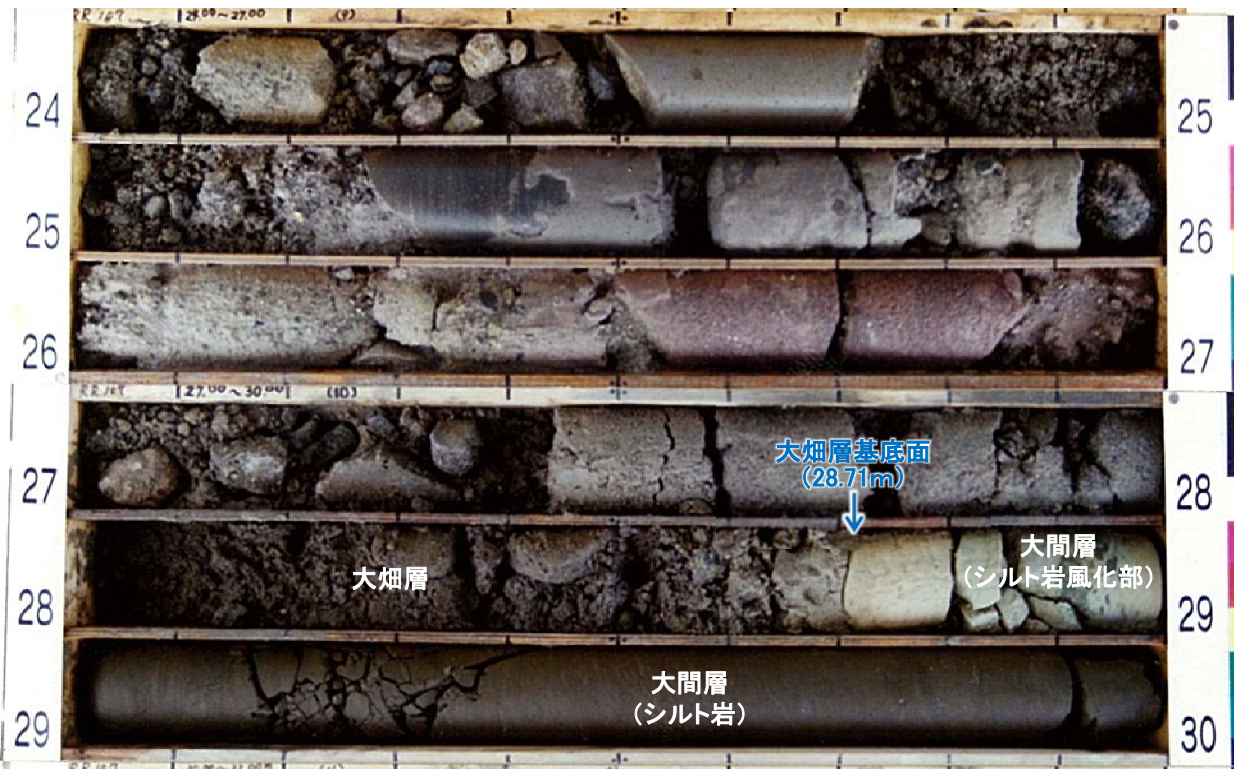
3.6 dF断層系の活動性評価(14/19)

コメントNo.S2-132



dF断層系と大畑層基底面との関係(x2-x2' 断面)(3/7):RR-107孔

RR-107孔(24m~30m区間)



地質鉛直断面図(南北方向 x2-x2')

凡例

コア写真区間

注) 凡例はP.3-27参照。

- x2-x2' 断面上のRR-107孔では、深度28.71mに大畑層の基底面が認められる。
- 大畑層は下位の大間層を不整合に覆って分布する。
- x2-x2' 断面上のボーリング結果から、大畑層の基底面に断層を示唆する南側落下の形状は認められない。

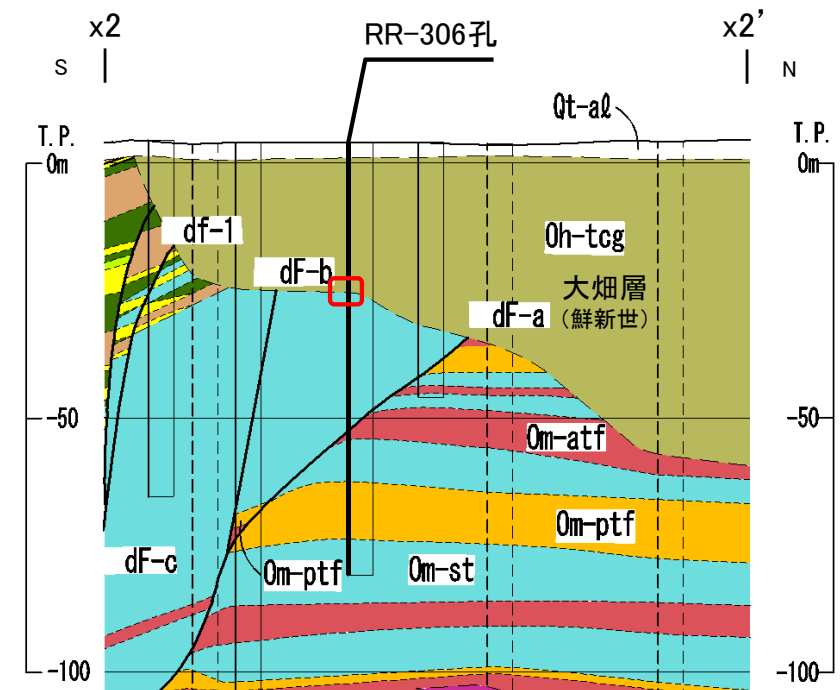
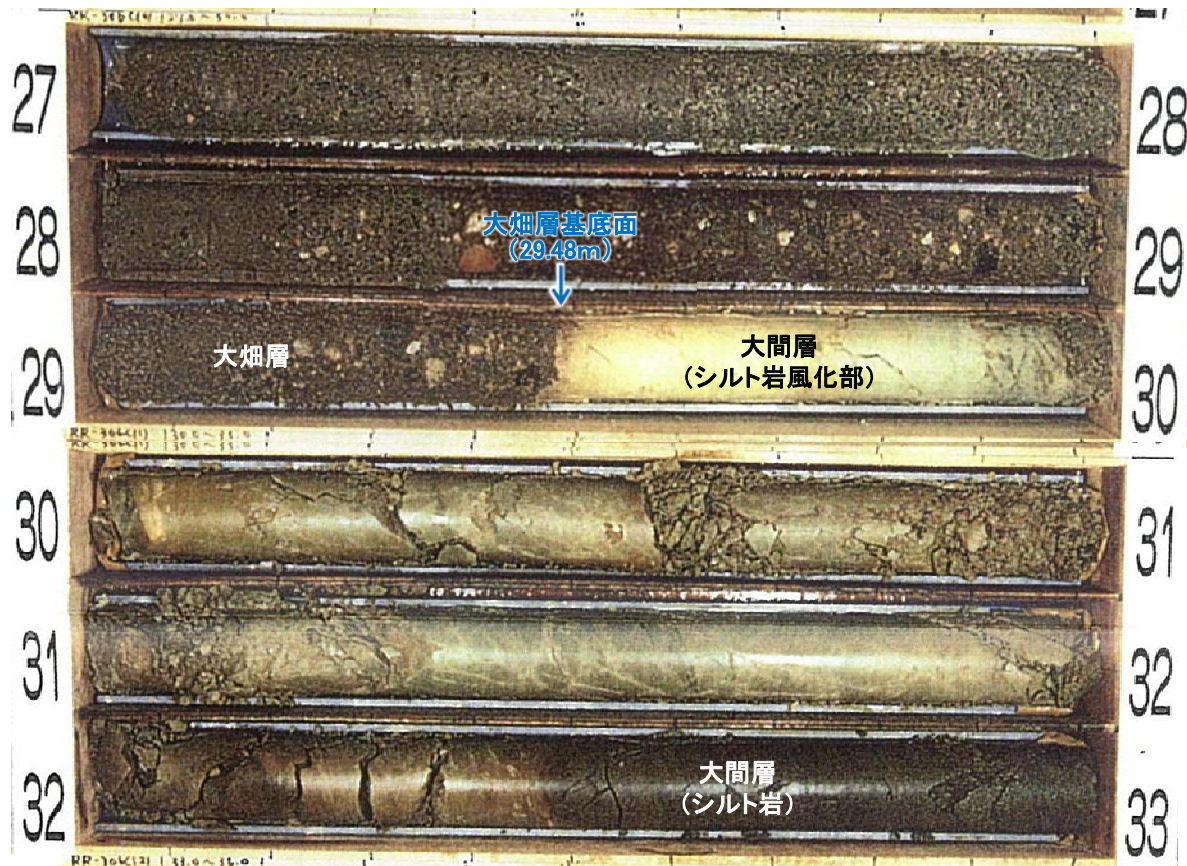
3.6 dF断層系の活動性評価(15/19)

コメントNo.S2-132



dF断層系と大畑層基底面との関係(x2-x2'断面)(4/7):RR-306孔

RR-306孔(27m~33m区間)



地質鉛直断面図(南北方向 x2-x2')

凡例

コア写真区間

注) 凡例はP.3-27参照。

- x2-x2'断面上のRR-306孔では、深度29.48mに大畑層の基底面が認められる。
- 大畑層は下位の大間層を不整合に覆って分布する。
- x2-x2'断面上のボーリング結果から、大畑層の基底面に断層を示唆する南側落下の形状は認められない。

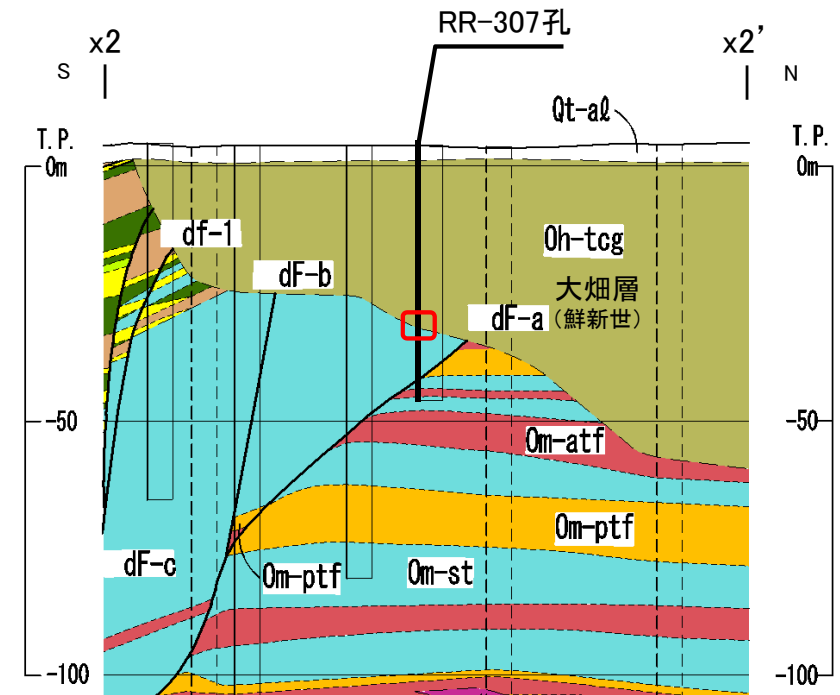
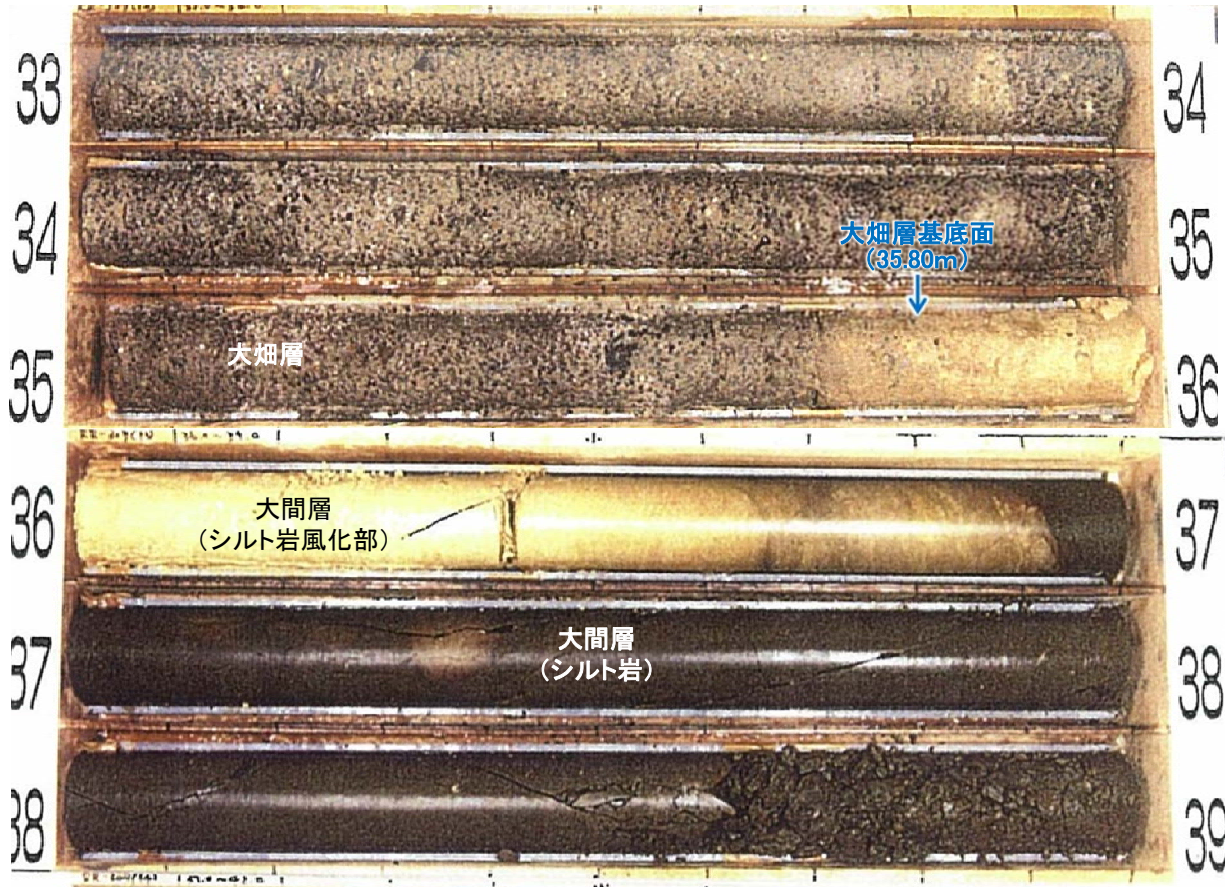
3.6 dF断層系の活動性評価(16/19)

コメントNo.S2-132



dF断層系と大畑層基底面との関係(x2-x2'断面)(5/7):RR-307孔

RR-307孔(33m~39m区間)



地質鉛直断面図(南北方向 x2-x2')

凡例

コア写真区間

注) 凡例はP.3-27参照。

- x2-x2'断面上のRR-307孔では、深度35.80mに大畑層の基底面が認められる。
- 大畑層は下位の大間層を不整合に覆って分布する。
- x2-x2'断面上のボーリング結果から、大畑層の基底面に断層を示唆する南側落下の形状は認められない。

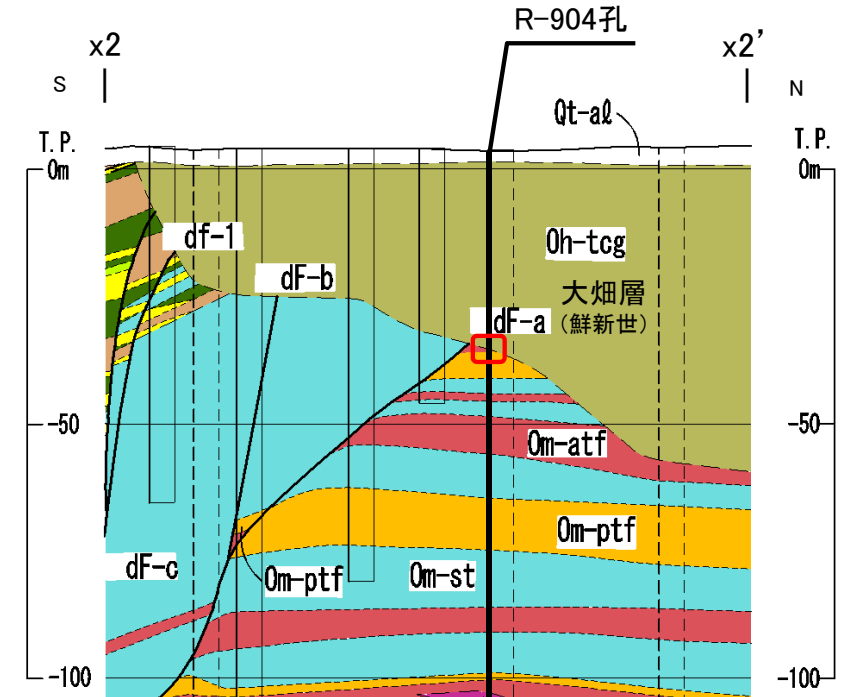
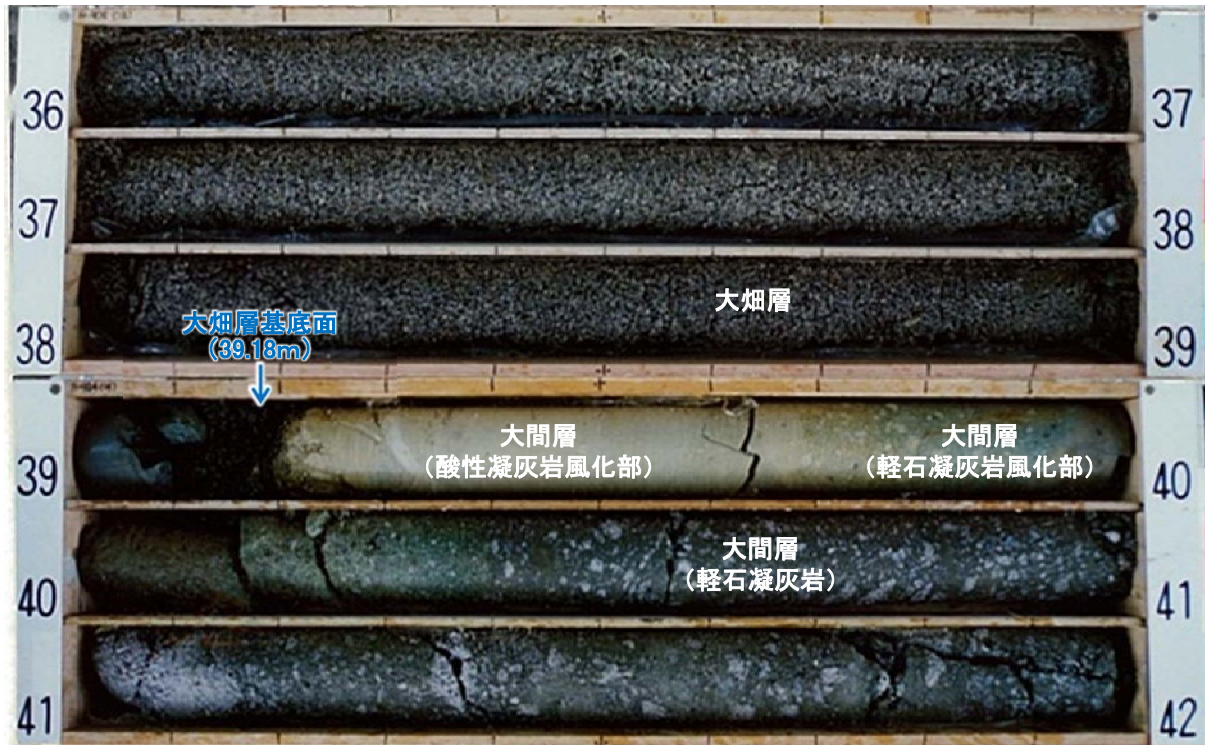
3.6 dF断層系の活動性評価(17/19)

コメントNo.S2-132



dF断層系と大畑層基底面との関係(x2-x2' 断面)(6/7):R-904孔

R-904孔(36m~42m区間)



地質鉛直断面図(南北方向 x2-x2')

凡例

コア写真区間

注) 凡例はP.3-27参照。

- x2-x2' 断面上のR-904孔では、深度39.18mに大畑層の基底面が認められる。
- 大畑層は下位の大間層を不整合に覆って分布する。
- x2-x2' 断面上のボーリング結果から、大畑層の基底面に断層を示唆する南側落下の形状は認められない。

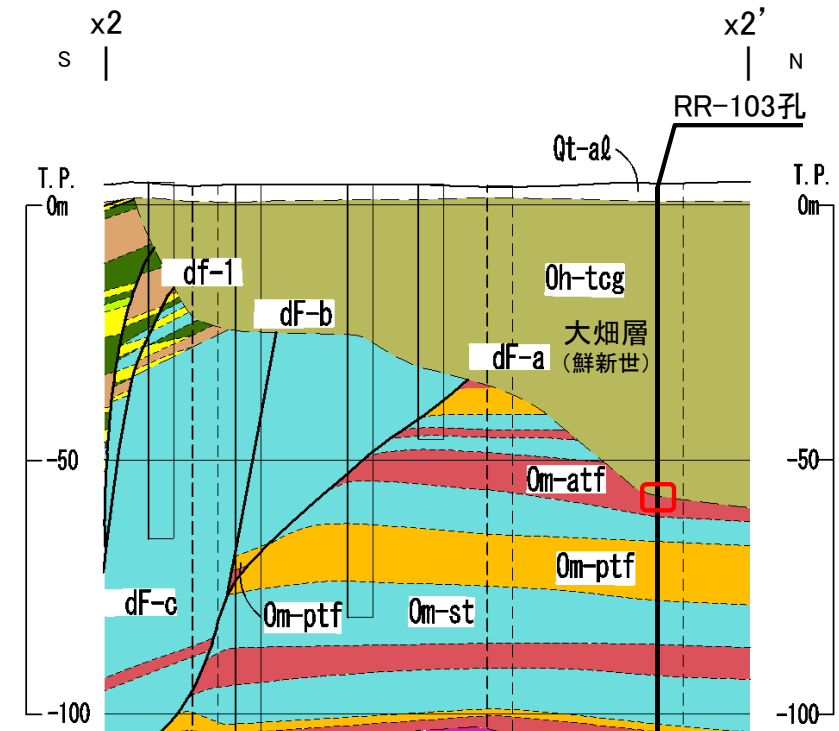
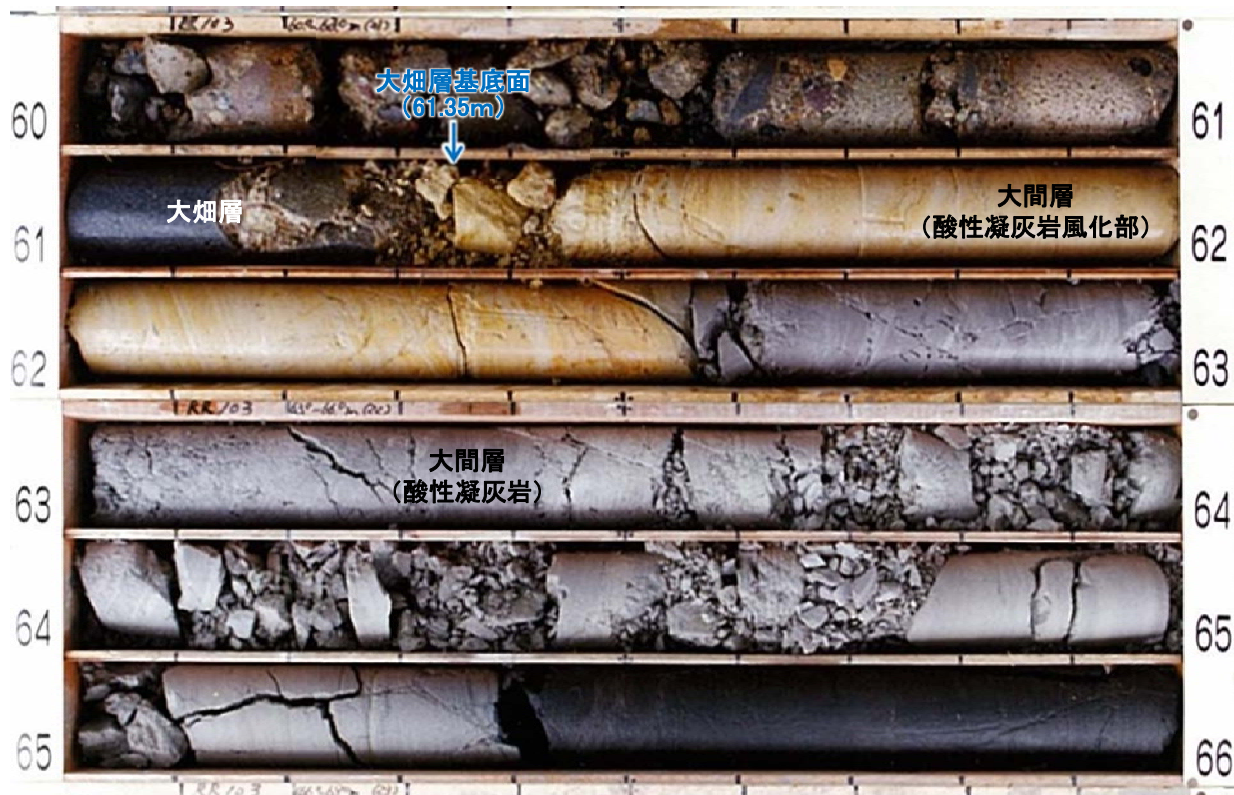
3.6 dF断層系の活動性評価(18/19)

コメントNo.S2-132



dF断層系と大畑層基底面との関係(x2-x2'断面)(7/7):RR-103孔

RR-103孔(60m~66m区間)



地質鉛直断面図(南北方向 x2-x2')

凡例

コア写真区間

注) 凡例はP.3-27参照。

- x2-x2'断面上のRR-103孔では、深度61.35mに大畑層の基底面が認められる。
- 大畑層は下位の大間層を不整合に覆って分布する。
- x2-x2'断面上のボーリング結果から、大畑層の基底面に断層を示唆する南側落下の形状は認められない。

3.6 dF断層系の活動性評価(19/19)

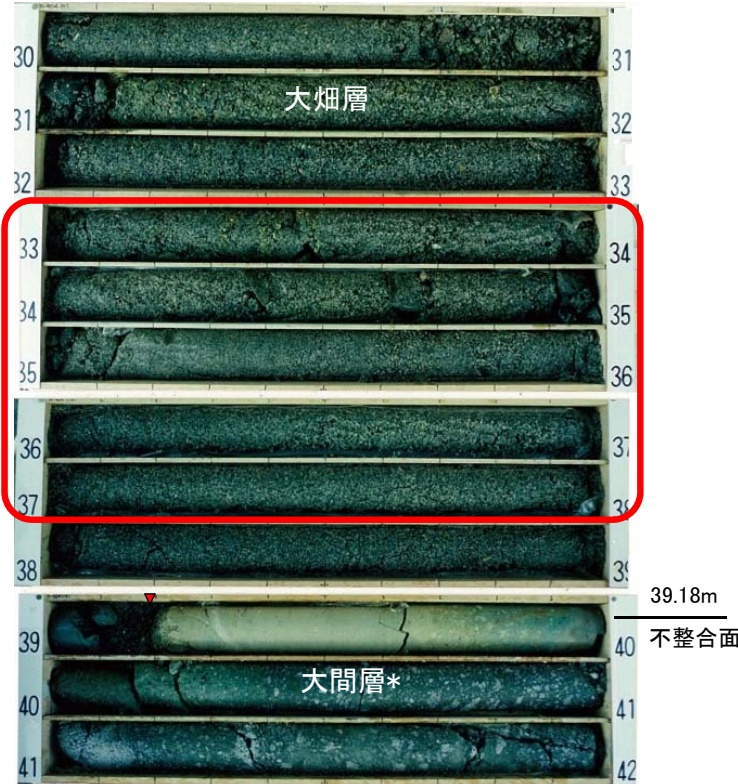
コメントNo.S2-132

第804回審査会合
資料1-1 P.2-48 一部修正

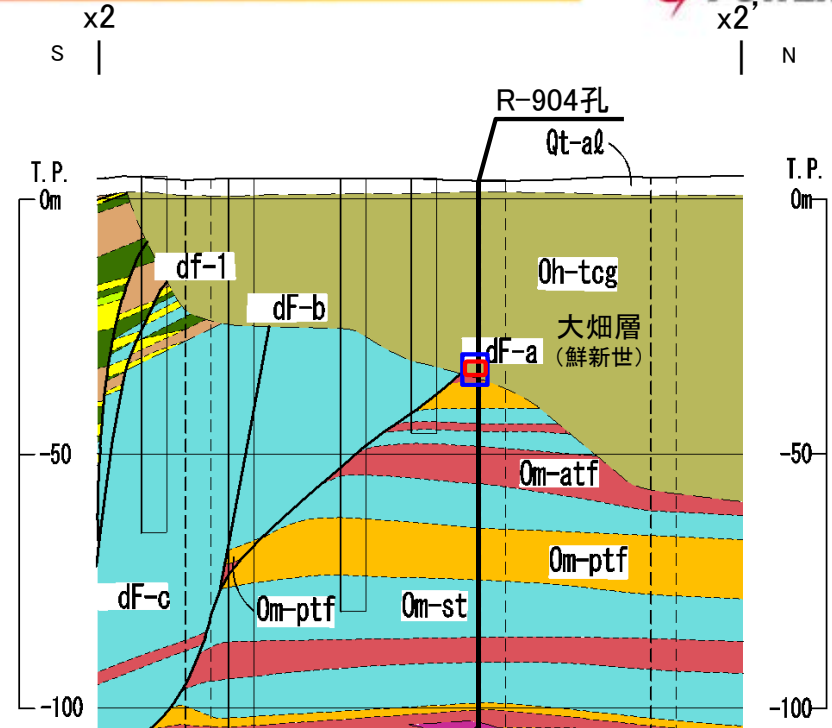


dF-a断層と大畑層との関係(x2-x2' 断面): R-904孔

R-904孔(30m~42m区間)



*: 大間層(酸性凝灰岩, 軽石凝灰岩)



地質鉛直断面図(南北方向 x2-x2')

凡例
□ コア写真区間
□ dF-a断層想定延長部

注) 凡例はP.3-27参照。



dF-a断層想定延長部の
拡大コア写真

- R-904孔ではdF-a断層の延長上の大畑層の凝灰質礫岩中には、破碎部や礫の一定方向の配列等の断層を示唆する性状は認められない。
- dF-a断層を挟んだ両側で大畑層の基底面に断層を示唆する南側落下の形状が認められないこと(P.3-60, 3-61参照), 上記のとおり大畑層内に断層を示唆する性状が認められないことから、dF-a断層は後期更新世以降の活動はないと判断される。

1. 町田洋・新井房夫(2011) : 新編 火山灰アトラス [日本列島とその周辺] (新編第2刷), 東京大学出版会, 336p.
2. 松原典孝・天野一男(2010) : 南部フォッサマグナ丹沢山地における中新世ペペライトの産状と形成過程, 地質学雑誌, 第116巻, 第3号, pp.134-150
3. 狩野謙一(1983) : 安山岩質海底火山の浅部構造: 伊豆半島南端部の新第三系白浜層群に見られる例, 静岡大学地球科学研究報告8, pp.9-37
4. 金川久一(2011) : 現代地球科学入門シリーズ10, 地球のテクトニクスⅡ 構造地質学, 共立出版, p.109
5. Underhill, J.R. and Woodcock, N.H. (1987): Faulting mechanisms in high-porosity sandstones; New Red Sandstone, Arran, Scotland, Deformation of Sediments and Sedimentary Rocks, Geological Society Special Publication No.29, pp.91-105
6. 狩野謙一・村田明広(1998): 構造地質学, 朝倉書店, p.81
7. Okubo, C. H. (2014) : Brittle deformation and slope failure at the North Menan Butte tuff cone, Eastern Snake River Plain, Idaho, Journal of Volcanology and Geothermal Research, Vol.278-279, pp. 86-95
8. Rotevatn, A., Torabi, A., Fossen, H. and Braathen, A. (2008) : Slipped deformation bands: A new type of cataclastic deformation bands in Western Sinai, Suez rift, Egypt, Journal of Structural Geology, Vol.30, pp.1317-1331.
9. Soliva, R., Schultz, R.A., Ballas, G., Taboada, A., Wibberley, C., Sallet, E. and Benedicto, A. (2013) : A model of strain localization in porous sandstone as a function of tectonic setting, burial and material properties; new insight from Provence (southern France), Journal of Structural Geology, Vol.49, pp.50-63
10. 垣見俊弘・加藤碩一(1994) : 地質構造の解析—理論と実際—, 愛智出版, 274p.